

豊橋技術科学大学大学院 学生員 ○住尾 博幸
 豊橋技術科学大学工学部 正員 北田 敏廣
 豊橋技術科学大学大学院 学生員 後田 端穂

1. はじめに、環境汚染に関する大規模な汚染物拡散の数値解析が行なわれるに到りた。その後、問題の基本的性質の検討の他に、計算スキーム上の誤差（解の安定性、数値分散、位相誤差）を調べることが重要な問題である。

FDM（差分法）⁽¹⁾では、計算スキームが簡単になり、空間多次元問題を効率よく解けるTime splitting (Locally-one dimensional) 法が考案されている。一方、FEM（有限要素法）は、近年、液体の計算に多く用いられるが、一および二次元の移流方程式に対する適用の結果、与えられた制約条件の数値誤差の少ない方法として知られている。

上記の、① LOD 概念の多次元問題に対する有効性と、② 流体問題に適用した時の FEM の精度の良さを結び合わせて、LOD-FEM 法が提案されている。しかししながら、テスト問題を用いての、この方法の数値的な特徴はまだ十分に把握されていない。本報では、これを中心に述べるものである。

LOD-FEM 法は、Time splitting により得られた三つの一次元 FEM 方程式を連続して解くものである。さらに、FEM の定式化においては、重み関数として非対称関数を用いる Upwind-FEM を使用した。この方法は、高ペイレ数に対して有効な点が知られている。

2. テストモデル。図1が計算領域である。問題としては、(A)

ソースを持つもの、(B) ソースを持たないものの二つを採用した。

i) 基礎式。 $\frac{\partial C}{\partial t} + U \frac{\partial C}{\partial x} + V \frac{\partial C}{\partial y} = D_H \left(\frac{\partial^2 C}{\partial x^2} + \frac{\partial^2 C}{\partial y^2} \right) + S \quad (1)$
 (A, B) 場合によっては、 $V=0$ とした。

ii) 縁界条件。 $P_1, P_2 \frac{\partial C}{\partial x} / U C - D_H \frac{\partial C}{\partial x}^{n+1} = / U C - D_H \frac{\partial C}{\partial x}^n \quad (2)$
 (A, B) $P_3, P_4 \frac{\partial C}{\partial y} / V C - D_H \frac{\partial C}{\partial y}^{n+1} = / V C - D_H \frac{\partial C}{\partial y}^n \quad (3)$

$$P_5 \frac{\partial C}{\partial z} / D_V \frac{\partial C}{\partial z}^{n+1} = 0, P_6 \frac{\partial C}{\partial z} / D_V \frac{\partial C}{\partial z}^n = D_V \frac{\partial C}{\partial z}^n \quad (4)$$

但し、 $V=0$ とした場合、 $P_3, P_4 \frac{\partial C}{\partial y} / D_H \frac{\partial C}{\partial y}^{n+1} = D_H \frac{\partial C}{\partial y}^n$

iii) 初期条件 (A) $C(x, y, z, 0) = 0 \quad (5)$

$$(B) C(x, y, z, 0) = 10(1 - \frac{r}{600}) \quad (6)$$

但し、 $R^2 = (x-900)^2 + (y-2400)^2 + 36(z-250)^2, R \geq 600 \text{ m}, C=0$

iv) ソース項 (A) $S = Q f_1 - \sin(\frac{\pi x}{3600} + \frac{\pi}{2}) \delta(x-x_s) \delta(y-y_s) \delta(z-z_s) \quad (7)$

但し、 $S_p(x_s, y_s, z_s) = S_p(600, 2400, 500)$

v) その他、風速: $U=3 \text{ m/s}, V=1 \text{ m/s}$, 拡散係数: $D_H=30 \text{ m}^2/\text{s}, D_V=5 \text{ m}^2/\text{s}$

刻み幅: $\Delta x=300 \text{ m}, \Delta y=300 \text{ m}, \Delta z=50 \text{ m}, \Delta t=60 \text{ s}$ とする。

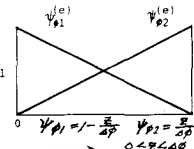


図2

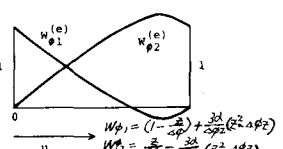


図3

Local interpolation function (linear) Local weighting function (asymmetric quadratic)

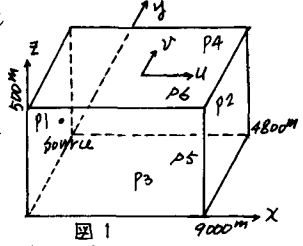


図1

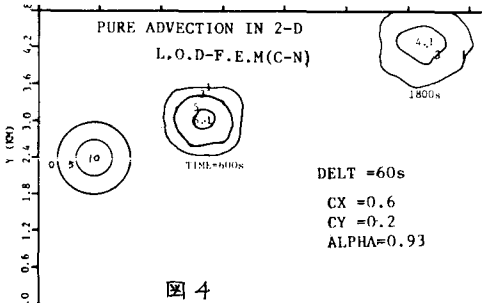


図4

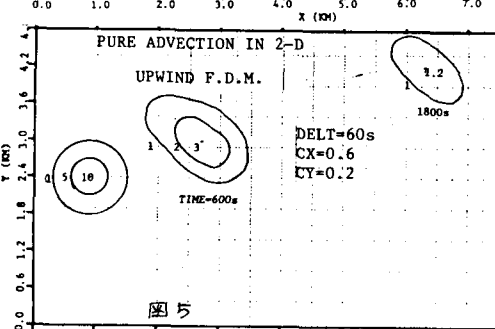


図5

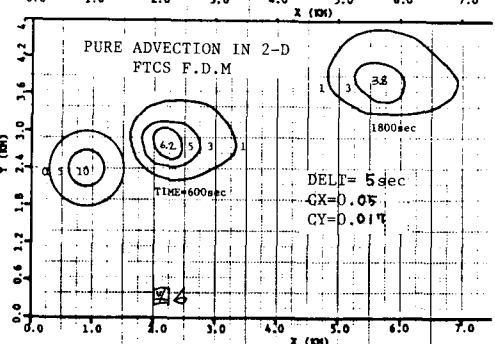


図6

3. FEMの定式化 図2, 図3に示した形状関数と重み関数を用ひて、重み付き残差法から次の方程式を得る。

$A_{ij}c_j + B_{ij}c_j = F_i$ (6) 時間に關して、Crank-Nicolson (C-N) と 3次のNewton Backward (Back-W) の近似を行なう。

$$(C-N) \quad (A_{ij} + \frac{\alpha}{2}B_{ij})c_j^{n+1} = (A_{ij} - \frac{\alpha}{2}B_{ij})c_j^n + \alpha t F_i^n$$

$$(Back-W) \quad ((1)A_{ij} + 3\alpha t B_{ij})c_j^{n+1} = (18A_{ij} - 3\alpha t B_{ij})c_j^n - A_{ij}(9c_j^{n+1} - 2c_j^n) + 6\alpha t F_i^n$$

4. 結果の考察 図4~7は、(B)のモデルで、初期分布を移流現象のみで流した結果である。(但し、図4では、 $V=0$ としたものである。)

図8~12は、(A)のモデルで、煙軸上の濃度の計算結果である。

(但し、図12は、煙源における $x-y$ 平面の濃度等高線図)(図中の $C_x = \frac{u \partial c}{\Delta x}$: 7-ランク、 $D = \frac{\partial^2 c}{\Delta x^2} + \frac{\partial^2 c}{\Delta y^2} + \frac{\partial^2 c}{\Delta z^2}$: 扩散係数、 $Pe = \frac{U \Delta x}{D}$: ピアソン数)

(i) 数値分散、位相誤差(図4~7): 各スキームとも、ピーク濃度がかなり減衰している。その中で、LOD-FEM(C-N)とFTCSが、Upwind と比較して、相対的に減衰が少ない。初期分布コーンの重心位置は、移流後も LOD-FEM(C-N)と Upwind は正しく進んでいるが、FTCSには少しだけズレが生じている。又、初期の円形分布を一番良く保持しているのは、LOD-FEM(C-N)である。風速が U の時の結果からも同様のこと事が解る。以上のことから LOD-FEM が相対的に減衰が少なく、位相誤差がないスキームと言える。図示していないが、LOD-FEM(B-W)では、拡散が見受けられた。Stiff な系に対する時間近似では良い結果を示したといふ報告もあり、再検討の余地がある。(ii) 安定性(図8~10): 煙軸上の濃度計算結果は安定した解であった。いずれも、FDM での流出境界での負の濃度が正に改善されている。図12における濃度分布場も定性的に妥当であると考えられる。

(iii) Upwinding(図11): Upwind のパラメータを変化させた計算した。かがく以下では用意が起ころ。本計算では、定常時の最高値 $\alpha = 0.93$ を用いた。

5. おわりに。空間多次元問題に対して、LOD-FEM (C-N) は、位相誤差の少ない簡便な方法である。今後、五方向の散逸を調べ、人工粘性等の導入により、数値分散を少なくて手詮研究が予定である。

- (1) Yannenko (1991): The Method of Fractional Step
- (2) 岩田 (1999): 実験的位相誤差
- (3) Zienkiewicz (1978): FEM in Fluids, Wiley
- (4) Zlatev (1979): Int. J. of Numer. Methods Eng.
- (5) Chung (1998): FEM in Fluids Dynamics, McGraw-Hill
- (6) 川原 (1997): 第22回海岸工学講演会
VOL.14 1051~1061

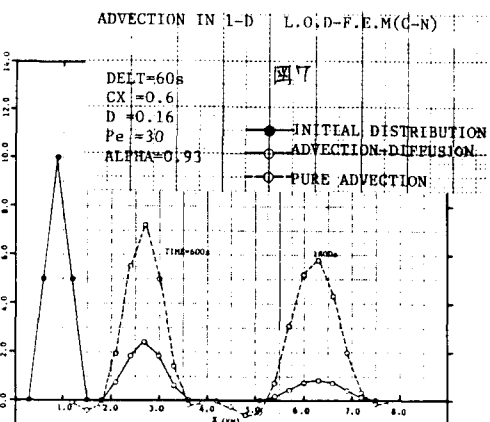


図7

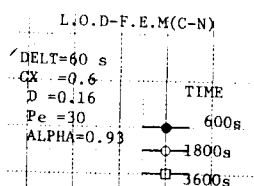


図8

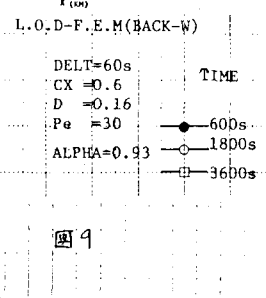


図9

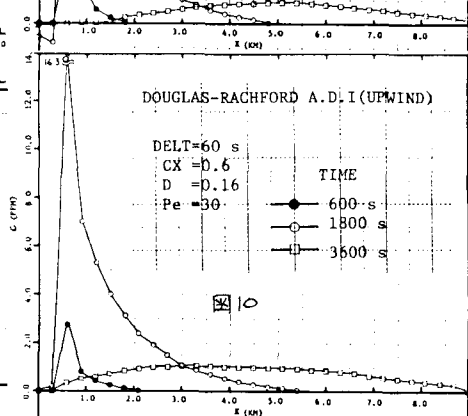


図10

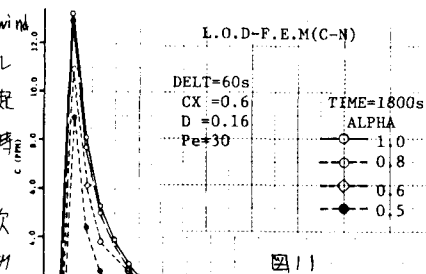


図11

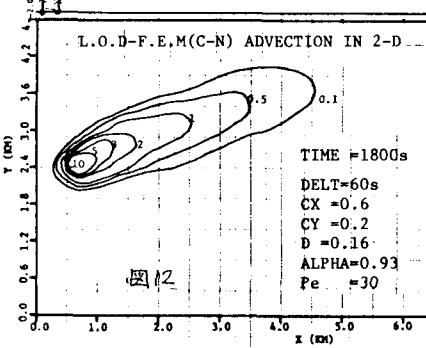


図12

(3) CHUNG (1998): FEM in Fluids Dynamics, McGraw-Hill (6) 川原 (1997): 第22回海岸工学講演会